

## บรรณานุกรม

- Luh, J. Y. S., Walker, M. W. and Paul, R. P. C., On-Line Computational Scheme for Mechanical Manipulations. A.S.M.E. J. Dyn. Syst. Meas. Contr.,102(1980a).
- Luh, J. Y. S., Walker, M. W. and Paul, R. P. C., Resolved Acceleration Control of Mechanical Manipulations. I.E.E. Trans. Automatic Control,25, 3 (1980b).
- Raibert, M. H. and Craig J. J., Hybrid Position/Force Control of Manipulators. J. Dyn. Syst. Meas. Contr., 102(1981).
- Asada, H. and Slotine, J. J. E., Robot Analysis And Control., John Wiley & Sons., Inc.,1986.
- Lewis, F. L., Abdallah, C. T. and Dawson D. M., Control of Robot Manipulators., Macmillan,Inc.,1993.
- Yoshikawa, T. and Sudou A., Dynamic Hybrid Position/Force Control of Robot Manipulator—On-Line Estimation of Unknown Constraint., I.E.E. Trans. on Robotics and automation, vol. 9, April, 1993.

ศูนย์วิทยทรัพยากร  
จุฬาลงกรณ์มหาวิทยาลัย



ภาคผนวก

ศูนย์วิทยทรัพยากร  
จุฬาลงกรณ์มหาวิทยาลัย

## ภาคผนวก ก

### เครื่องมือและอุปกรณ์

อุปกรณ์และเครื่องมือในการทดลองนั้นประกอบไปด้วยส่วนต่างๆ ดังนี้

#### 1. D.C motor

มอเตอร์ที่ใช้เป็นแบบแม่เหล็กถาวร (permanent magnet) ของบริษัท Electro - Craft

ข้อต่อที่ 1 ใช้มอเตอร์ Serial NO. 0643-33-004

ข้อต่อที่ 2 ใช้มอเตอร์ Serial NO. 0643-33-004

ข้อต่อที่ 3 ใช้มอเตอร์ Serial NO. 0588-33-500

ข้อต่อที่ 4 ใช้มอเตอร์ Serial NO. 0588-33-500

ข้อต่อที่ 5 ใช้มอเตอร์ Serial NO. 0552-10-500

#### 2. Tachometer

เทคโคมิเตอร์เป็นอุปกรณ์วัดความเร็วที่ให้ output ออกมาเป็นสัญญาณ analog โดยระดับศักย์ค่าไฟฟ้าที่ได้จะแปรผันตรงกับความเร็วมอเตอร์ และในการทดลองเทคโคมิเตอร์ที่ใช้วัดความเร็วนี้ จะติดมากับมอเตอร์ของแต่ละข้อต่อของแขนกล

#### 3. Encoder

เอนโคดเดอร์ เป็นอุปกรณ์วัดตำแหน่งที่ให้ output ออกมาเป็นสัญญาณ digital โดยจะส่งสัญญาณออกมาเป็นพัลส์ 2 ช่องและสัญญาณของแต่ละช่องจะมีมุมเฟสต่างกัน 90 องศา เพื่อใช้ในการตรวจเช็คทิศทาง ส่วนความละเอียดของเอนโคดเดอร์ นั้นขึ้นอยู่กับจำนวนพัลส์ต่อรอบของเอนโคดเดอร์ เช่น 1,000 พัลส์ ต่อรอบ หมายความว่า เอนโคดเดอร์ นี้สามารถวัดได้ละเอียดถึง หนึ่งในพันของรอบ คือ 0.36 องศา

ข้อต่อที่ 1 และข้อต่อที่ 3 ใช้เอนโคดเดอร์ยี่ห้อ SUMTEX ความละเอียด 2048 P/rev  
ข้อต่อที่ 2 ข้อต่อที่ 4 และข้อต่อที่ 5 ใช้เอนโคดเดอร์ยี่ห้อ RENCO ความละเอียด 1000 P/rev

#### 4. Power Amplify

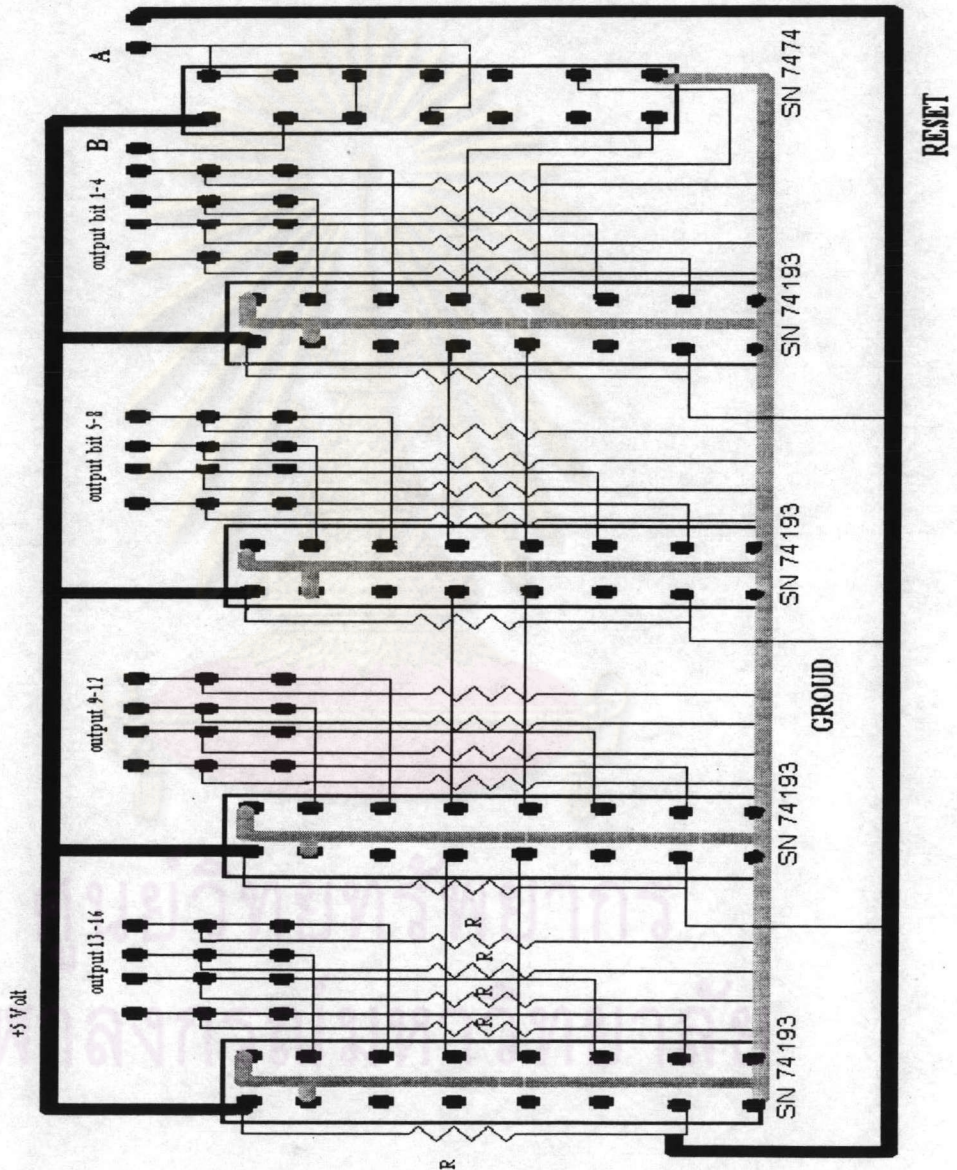
แอมพลิไฟ เป็นอุปกรณ์ที่ใช้ขับมอเตอร์กระแสตรง ในการทดลองจะใช้ แอมพลิไฟรุ่น La 5600 ทั้ง 5 ชุดต่อ ของบริษัท Electro Craft ซึ่งสามารถทำงานได้ทั้ง โมดควบคุมแบบโวลท์ และ โมดควบคุมแบบกระแส



ศูนย์วิทยทรัพยากร  
จุฬาลงกรณ์มหาวิทยาลัย

### 5. วงจร Decoder

ดีโคเดอ์ที่ใช้ในการทดลองจะรับสัญญาณจากเอนโคเดอ์ และใช้ D-FLIPFLOP 2 ตัว ทำหน้าที่ตรวจทิศทางการหมุนของมอเตอร์ จากนั้นส่งสัญญาณที่ได้เข้าวงจรนับ นับจำนวนพัลส์ก็จะทำให้ทราบตำแหน่งของแกนกลได้



รูปที่ ก.1 วงจร Decoder

## 6. การ์ด ติดต่อระหว่างคอมพิวเตอร์และอุปกรณ์ภายนอก

6.1 การ์ด PCLab 812 เป็นการ์ดรับส่งข้อมูล (DATA ACQUISITION) ซึ่งประกอบไปด้วย

ช่องส่งสัญญาณแบบ analog (D/A) 16 ช่อง

ช่องรับสัญญาณแบบ analog (A/D) 2 ช่อง

ช่องรับส่งสัญญาณแบบ Digital (I/O) ขนาด 16 bit 2 ชุด

6.2 การ์ด ET-PC 8255 เป็นการ์ดรับส่งสัญญาณแบบ Digital (I/O) ขนาด 24 bit 2 ชุด

6.3 การ์ด METABYTE

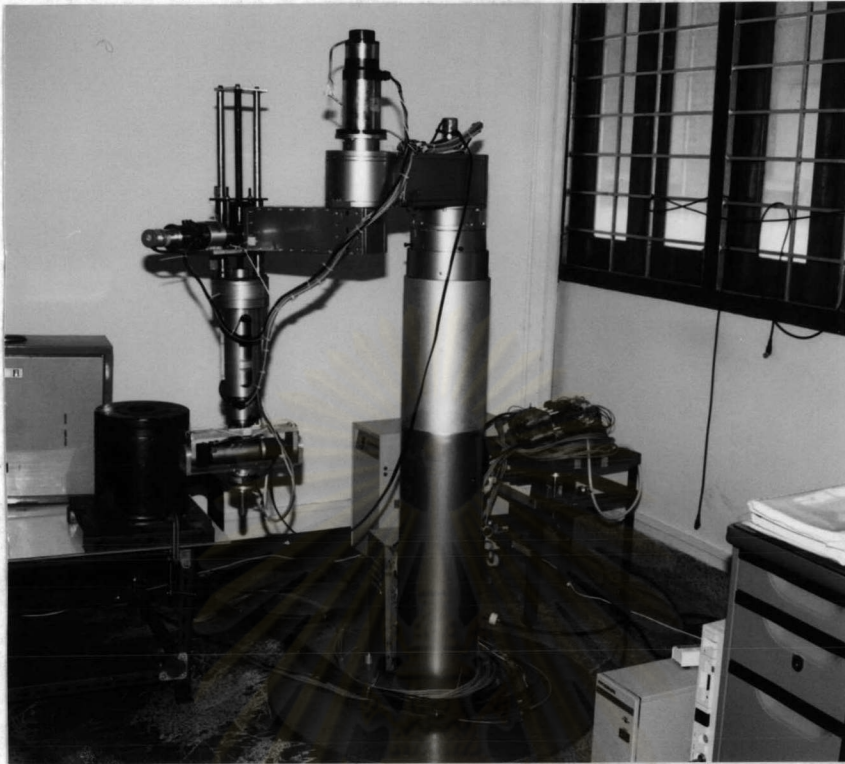
เป็นการ์ดส่งสัญญาณแบบ analog (D/A) ขนาด 6 ช่อง

และรับส่งสัญญาณแบบ Digital (I/O) ขนาด 24 bit 1 ชุด

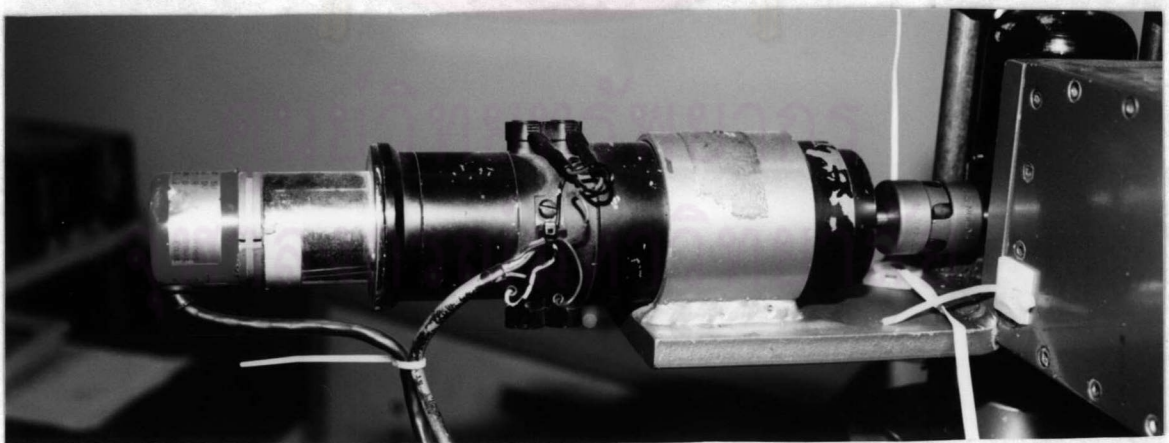
6.4 JR 3 DSP based Force Sensor Receiver card

เป็นการ์ดซึ่งรับสัญญาณมาจากอุปกรณ์วัดแรง (force sensor) สามารถรับสัญญาณของแรง และ โมเมนต์ที่ส่งมาจาก อุปกรณ์วัดแรงได้

ศูนย์วิทยทรัพยากร  
จุฬาลงกรณ์มหาวิทยาลัย



รูปที่ ก.2 หุ่นยนต์ จูฟา 2  
(เพิ่มข้อต่อที่ 4 และ ข้อต่อที่ 5 พร้อมติดตั้ง อุปกรณ์วัดแรง)

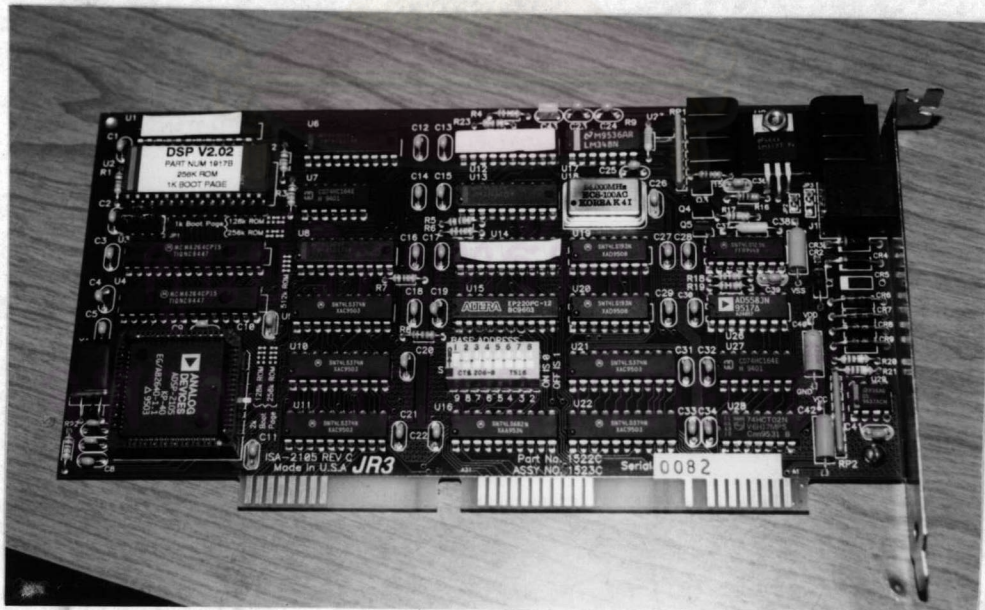


รูปที่ ก.3 มอเตอร์, เทค โคมิตอร์ และ เอน โคเดเดอร์



รูปที่ ก.4 อุปกรณ์วัดแรง (Force Sensor)

JR3 (model 67M25A-I40)



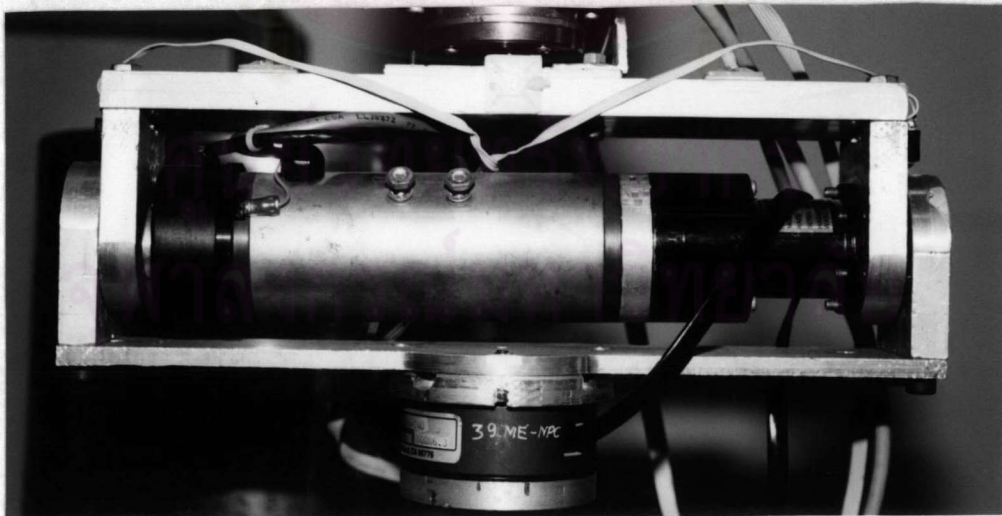
รูปที่ ก.5 DSP-base VMEbus receiver board

(การ์ดรับสัญญาณจาก force sensor)





รูปที่ ก.6 แสดงข้อต่อที่ 4

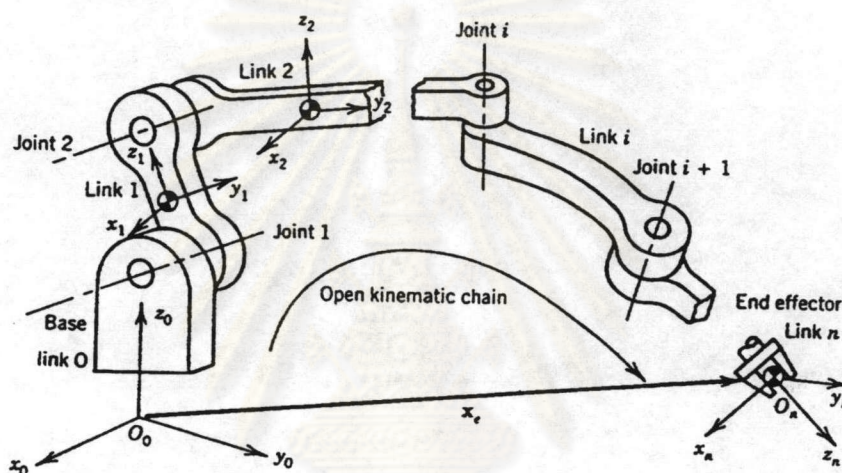


รูปที่ ก.7 แสดงข้อต่อที่ 5

## ภาคผนวก ข

### คิเนเมติกของแขนกล (kinematic modeling of a manipulator arm)

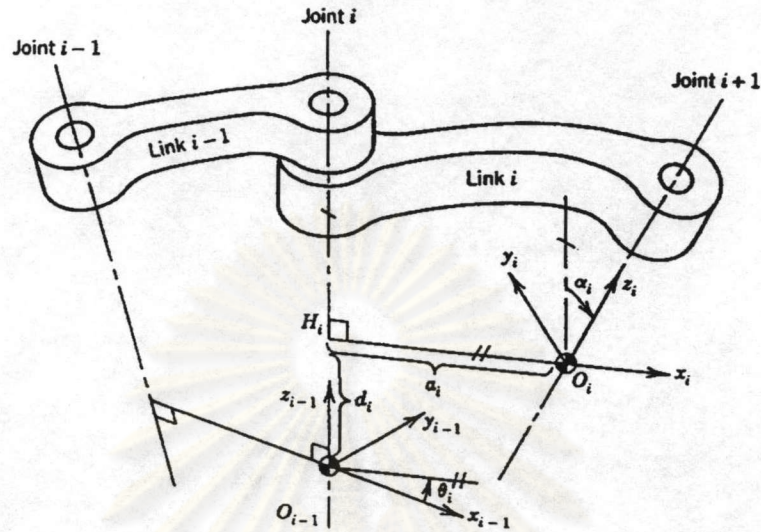
โดยทั่วไปแล้วแขนกลจะประกอบไปด้วยวัตถุแข็งติดต่อกันแบบอนุกรม (serial linkage of rigid bodies) หรือเรียกว่า open kinematic chain ซึ่งแขนกลในอุตสาหกรรมจะเป็นแบบ open kinematic chain ทั้งสิ้น



รูปที่ ข.1 แสดง open kinematic chain

เนื่องจากการของแขนกลจะเกี่ยวข้องกับปลายแขนกลเป็นส่วนใหญ่ฉะนั้นเราจะวิเคราะห์ ถึงการเคลื่อนที่ของปลายแขนกลที่ link สุดท้าย

จากรูป ตั้งเฟรม  $o_n - x_n y_n z_n$  ไว้ที่ปลายแขนกล และเฟรม  $o_0 - x_0 y_0 z_0$  ไว้ที่ฐานของแขนกล และการเคลื่อนที่ของปลายแขนกลจะเกิดจากการเคลื่อนที่ของ link ต่าง ๆ ระหว่าง link แรกและปลายแขนกล ฉะนั้นตำแหน่ง และ orientation ของปลายแขนกล สามารถวิเคราะห์ได้จาก ตำแหน่ง และ orientation ของแต่ละ link ที่เรียงต่อกันแบบอนุกรม ฉะนั้นให้  $o_i - x_i y_i z_i$  เป็นเฟรมที่  $i$  ของแต่ละ link และใช้ homogeneous transformation จาก link สุดท้ายย้อนกลับมา link แรกก็จะหา ตำแหน่ง และ orientation vector ของปลายแขนกล เทียบกับเฟรมศูนย์ได้



รูปที่ ข.2 แสดงการตั้งเฟรมตามวิธี Denavit-Hartenberg

จากรูป เป็นการตั้งเฟรมบน link ต่าง ๆ ของแขนกลโดยใช้วิธีของ Denavit-Hartenberg  
ดังนี้

จุด origin ของเฟรมที่  $i^{\text{th}}$  ( $O_i$ ) จะอยู่บนจุดตัดระหว่าง joint  $i+1$  กับเส้นตั้งฉากระหว่าง joint  $i$  กับ joint  $i+1$

แกน  $x_i$  จะอยู่บน joint  $i+1$

แกน  $y_i$  จะอยู่บนเส้นตั้งฉากระหว่าง joint  $i$  กับ joint  $i+1$

แกน  $z_i$  จะเป็นไปตามกฎมือขวา

$a_i$  คือความยาวของเส้นตั้งฉากระหว่าง  $z_{i-1}$  กับ  $z_i$

$d_i$  คือ ระยะระหว่าง  $x_{i-1}$  กับ  $x_i$  ตามแนวแกน  $z_{i-1}$

$\alpha_i$  คือ มุมระหว่าง  $z_{i-1}$  กับ  $z_i$  วัดรอบแกน  $x_i$  ตามกฎมือขวา

$\theta_i$  คือ มุมระหว่าง  $x_{i-1}$  กับ  $x_i$  วัดรอบแกน  $z_{i-1}$  ตามกฎมือขวา

พารามิเตอร์  $a_i$  และ  $\alpha_i$  จะเป็นค่าคงที่

$d_i$  และ  $\theta_i$  จะเป็นตัวแปรขึ้นกับชนิดของ joint

ในระบบแขนกล สามารถแบ่งชนิดของ joint ได้ 2 ประเภท คือ

1. revolute joint คือ joint ซึ่งมี link ที่ติดต่อกันเคลื่อนที่แบบเชิงมุม หมุนรอบ joint นั้น ๆ ด้วยพารามิเตอร์  $\theta_i$

2. prismatic joint คือ joint ซึ่งมี link ที่ติดกันเคลื่อนที่แบบเชิงเส้นตามแนวแกนของ joint นั้น ๆ ด้วยพารามิเตอร์  $d_i$

จากรูป สามารถหา homogeneous transformation matrix จากเฟรม  $o_i - x_i y_i z_i$  มายังเฟรม  $h_i - x_i y_i z_i$  ได้โดย

$$A_i^h = \begin{bmatrix} 1 & 0 & 0 & a_i \\ 0 & \cos\alpha_i & -\sin\alpha_i & 0 \\ 0 & \sin\alpha_i & \cos\alpha_i & 0 \\ 0 & 0 & 0 & 1 \end{bmatrix}$$

ในทำนองเดียวกันจากเฟรม  $h_i$  ไปยังเฟรม  $o_{i-1}$  จะได้

$$A_h^o = \begin{bmatrix} \cos\theta_i & -\sin\theta_i & 0 & 0 \\ \sin\theta_i & \cos\theta_i & 0 & 0 \\ 0 & 0 & 1 & d_i \\ 0 & 0 & 0 & 1 \end{bmatrix}$$

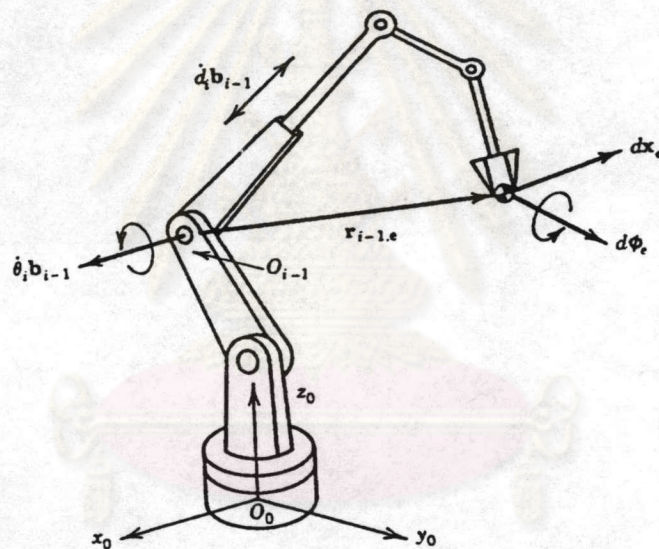
ฉะนั้น สามารถหา Homogeneous transformation ระหว่าง link ที่ติดกันได้ดังนี้

$$A_i^{i-1} = A_h^{i-1} A_i^h$$

$$A_i^{i-1} = \begin{bmatrix} \cos\theta_i & -\sin\theta_i \cos\alpha_i & \sin\theta_i \sin\alpha_i & a_i \cos\theta_i \\ \sin\theta_i & \cos\theta_i \cos\alpha_i & -\cos\theta_i \sin\alpha_i & a_i \sin\theta_i \\ 0 & 0 & -\sin\alpha_i & \cos\alpha_i \\ 0 & 0 & 0 & 1 \end{bmatrix}$$

### การคำนวณ Jacobian ของแขนกล

ในการคำนวณหาค่า Jacobian ของแขนกลนั้น จะพิจารณาการเคลื่อนที่แบบเชิงเส้นเป็นระยะทางเล็ก ๆ และการหมุนแบบเชิงมุมเป็นมุมเล็ก ๆ ของปลายแขนกล



รูปที่ ๓.๓ แสดงการเคลื่อนที่แบบเชิงเส้นและเชิงมุมเป็นระยะทางเล็ก ๆ ของปลายแขนกล

จากรูป vector  $dx_e$  แทนการเคลื่อนที่แบบเชิงเส้นเป็นระยะทางเล็ก ๆ ของปลายแขนกล vector  $d\phi_e$  แทนการหมุนเป็นมุมเล็ก ๆ ของปลายแขนกล โดยทั้ง  $dx_e$  และ  $d\phi_e$  เขียนเทียบกับ base frame ซึ่งสามารถเขียนอยู่ในรูปเมตริก ขนาด  $6 \times 1$  ได้

$$dP = \begin{bmatrix} dx_e \\ d\phi_e \end{bmatrix}_{6 \times 1}$$

หาผลรวมการนี้ด้วยเวลาเล็กๆ  $dt$  จะได้ความเร็วเชิงเส้นและเชิงมุมของปลายแขนกล

$$\dot{p} = \begin{bmatrix} v_e \\ \omega_e \end{bmatrix}$$

ซึ่งความเร็วของปลายแขนกลนี้ สามารถเขียนอยู่ในรูปความเร็วของแต่ละ joint ของแขนกลได้

$$\dot{p} = J\dot{q}$$

โดย

$$\dot{q} = [\dot{q}_1 \quad \dots \quad \dot{q}_n]^T \quad ; \dot{q} = \text{joint velocity}$$

$$J = \begin{bmatrix} J_{L1}, J_{L2}, \dots, J_{Ln} \\ J_{A1}, J_{A2}, \dots, J_{An} \end{bmatrix}$$

$J_{Li}, J_{Ai}$  เป็น  $3 \times 1$  column vector ของ Jacobian Matrix เราสามารถเขียนความเร็วเชิงเส้นของปลายแขนกลได้

$$v_e = J_{L1}\dot{q}_1 + \dots + J_{Ln}\dot{q}_n$$

และสามารถเขียนความเร็วเชิงมุมของปลายแขนกลได้

$$\omega_e = J_{A1}\dot{q}_1 + \dots + J_{An}\dot{q}_n$$

กรณีที่ เป็น prismatic joint จะทำให้ ปลายแขนกล เคลื่อนที่เป็นแบบเชิงเส้นเท่านั้น ให้  $b_{i-1}$  เป็นเวกเตอร์หนึ่งหน่วย ชี้ไปในทิศทางแกนของ joint  $i$  และ  $d_i$  เป็นความเร็วของ joint

จะได้

$$J_{Li} \dot{q}_i = b_{i-1} d_i$$

$$\therefore J_{Li} = b_{i-1} L_i$$

ส่วน  $\omega_c = 0$

$$\therefore J_{Ai} = 0$$

จะได้

$$\begin{bmatrix} J_{Li} \\ J_{Ai} \end{bmatrix} = \begin{bmatrix} b_{i-1} \\ 0 \end{bmatrix}$$

กรณีที่เป็น revolute joint จะทำให้ ปลายแขนกล เคลื่อนที่แบบเชิงเส้นและแบบเชิงมุม โดยมีความเร็วเชิงมุม

$$\omega_i = J_{Ai} \dot{q}_i$$

$$= b_{i-1} \dot{q}_i$$

ให้  $r_{i-1,e}$  เป็นเวกเตอร์ตำแหน่ง จากจุดกำเนิด  $o_{i-1}$  ไปยังปลายแขนกล ฉะนั้นความเร็วเชิงเส้นของ ปลายแขนกล

$$v_e = J_{Li} \dot{q}_i$$

$$= \omega_i \times r_{i-1,e}$$

จะได้

$$\begin{bmatrix} J_{Li} \\ J_{Ai} \end{bmatrix} = \begin{bmatrix} \mathbf{b}_{i-1} \times \mathbf{r}_{i-1,e} \\ \mathbf{b}_{i-1} \end{bmatrix}$$

โดยค่าของเวกเตอร์  $\mathbf{b}_{i-1}$  สามารถหาได้จาก

$$\mathbf{b}_{i-1} = \mathbf{R}_1^0(q_1)\mathbf{R}_2^1(q_2)\dots\mathbf{R}_{i-1}^{i-2}(q_{i-1})\bar{\mathbf{b}}$$

ส่วนเวกเตอร์  $\mathbf{r}_{i-1,e}$  สามารถหาได้จาก

$$\bar{\mathbf{x}} = [0 \ 0 \ 0 \ 1]^T$$

$$\mathbf{x}_{i-1,e} = \mathbf{A}_1^0(q_1)\dots\mathbf{A}_n^{n-1}(q_n)\bar{\mathbf{x}} - \mathbf{A}_1^0(q_1)\dots\mathbf{A}_{i-1}^{i-2}(q_{i-1})\bar{\mathbf{x}}$$

โดย

$$\begin{bmatrix} \mathbf{r}_{i-1,e} \\ 1 \end{bmatrix}^T = \mathbf{x}_{i-1,e}$$

### พลศาสตร์ของแขนกล (Dynamics of Manipulator)

พลศาสตร์ของแขนกลนั้น เป็นการแสดงถึงความสัมพันธ์ของ joint torque ที่กระทำต่อ link มีผลให้แขนกลนั้นเคลื่อนที่ ซึ่งสามารถแสดงอยู่ในรูปสมการอนุพันธ์ (Differential Equation) เรียกว่า Equation of Motion สามารถหาได้ 2 วิธี คือ

#### 1. Newton-Euler 's formulation

เป็นวิธีที่ใช้กฎข้อที่ 2 ของนิวตัน (Newton's second law of motion) ในการหา ซึ่งแสดงถึงพลศาสตร์ของระบบในรูปของแรง (force) และโมเมนตัม (Momentum) เพื่อพยายาม หาความสัมพันธ์ของ joint torque กับการเคลื่อนที่ของแขนกลในรูปของ joint displacement



## 2. Lagrangian formulation

เป็นวิธีที่แสดงถึงพลศาสตร์ของระบบในรูปของงาน (work) และพลังงาน (Energy) และใช้ generalized coordinates ซึ่ง Equation of motion ที่ได้จะอยู่ในรูป close-form ที่แสดงความสัมพันธ์ของ joint torque และ joint displacement

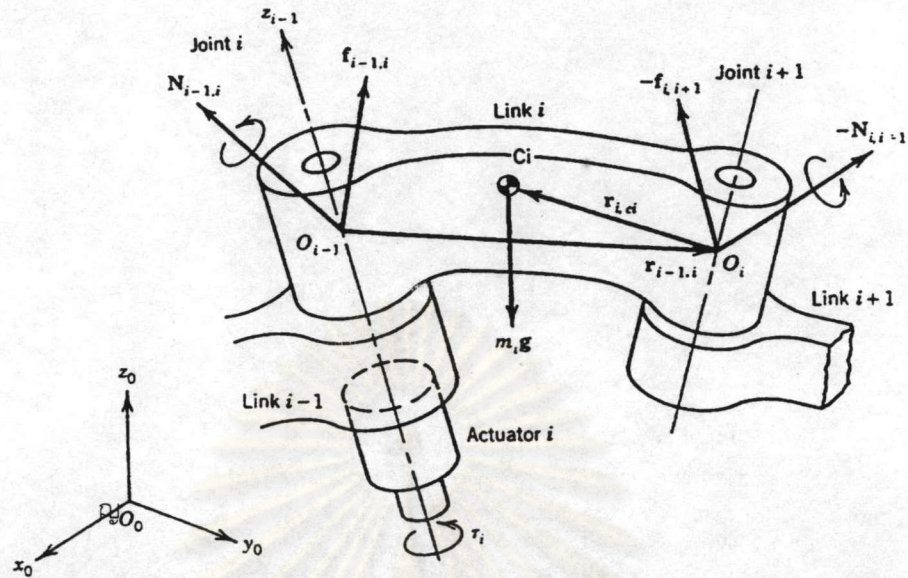
แต่ในที่นี้จะใช้วิธีการของ Newton-Euler formulation ในการหา Equation of motion เนื่องจากจากลักษณะของสมการจะเหมาะสำหรับการเขียนโปรแกรมคอมพิวเตอร์มากกว่า จากนั้นเป็นการแก้ปัญหา inverse dynamics เพื่อที่จะหา input joint torque ที่เหมาะสมเพื่อให้ output เป็นไปตามที่ต้องการ

### Newton-Euler Formulation of Equation of Motion

เราจะหา Equation of motion ของแขนกลที่ link  $i$  ใด ๆ โดยพิจารณาการเคลื่อนที่ของ link ใน 2 ลักษณะคือ

1. แบบเชิงเส้นรอบจุดศูนย์กลางมวล (centroid) หรือเรียกว่า Newton's equation of motion for a mass particle

ศูนย์วิทยทรัพยากร  
จุฬาลงกรณ์มหาวิทยาลัย



รูปที่ ข.4 แสดง free body diagram ของข้อต่อแขนกล

พิจารณา free body diagram ของ link ซึ่งแสดงถึงแรงและโมเมนต์ ที่กระทำต่อ link และ  $v_{ci}$  เป็นความเร็วเชิงเส้นของจุดศูนย์กลางมวลของ link  $i$ ,  $m_i$  เป็นมวลของ link  $i$ ,  $\dot{v}_{ci}$  เป็นความเร่งเชิงเส้นของจุดศูนย์กลางมวลจะค้นหา Equation of motion ได้ คือ

$$f_{i-1,i} - f_{i,i+1} + m_i g = m_i \dot{v}_{ci} \quad i = 1, 2 \dots n$$

2. แบบเชิงมุมหมุนรอบจุดศูนย์กลางมวลหรือเรียกว่า Euler's equation of motion ในกรณีการเคลื่อนที่แบบเชิงมุม เราจะแทนคุณสมบัติของมวลด้วย inertia tensor ซึ่งนิยามด้วย เมตริกสมมาตรขนาด  $3 \times 3$

$$I = \begin{bmatrix} \int \{(y-y_c)^2 + (z-z_c)^2\} \rho dV & - \int (x-x_c)(y-y_c) \rho dV & - \int (z-z_c)(x-x_c) \rho dV \\ - \int (x-x_c)(y-y_c) \rho dV & \int \{(y-y_c)^2 + (z-z_c)^2\} \rho dV & - \int (y-y_c)(z-z_c) \rho dV \\ - \int (z-z_c)(x-x_c) \rho dV & - \int (y-y_c)(z-z_c) \rho dV & \int \{(y-y_c)^2 + (z-z_c)^2\} \rho dV \end{bmatrix}$$

โดย  $\rho$  คือความหนาแน่น,

$(x^c, y^c, z^c)$  เป็นจุดศูนย์กลางมวลของ link ฉะนั้นสามารถหา Equation of motion ได้ คือ

$$N_{i-1,i} - N_{i,i+1} + r_{r,ci} \times f_{i,i+1} - r_{i-1,ci} \times f_{i-1,i} = I_i \dot{\omega}_i + \omega_i \times (I_i \omega_i)$$

## Inverse Dynamics

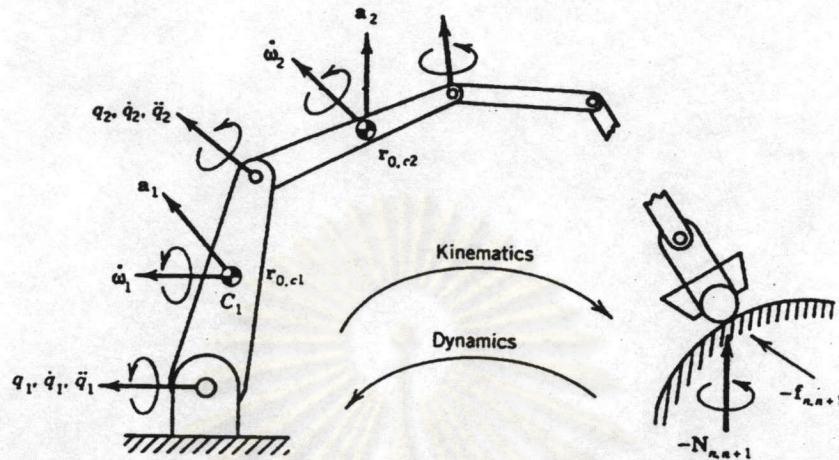
โดยปกติแล้วไดนามิกส์ของแขนกลนั้น จะเป็นระบบแบบไม่เชิงเส้น ฉะนั้นในการควบคุมแขนกล เพื่อให้เคลื่อนที่ไปตามที่ต้องการจำเป็นต้องคำนวณแรง และแรงบิด เพื่อใช้ขับเคลื่อนของแขนกล และด้วยความถี่ที่เพียงพอ พิจารณา closed-form dynamic Equation

$$\tau_i = \sum_{j=1}^n I_{ij} \ddot{q}_j + \sum_{j=1}^n \sum_{k=1}^n h_{ijk} \dot{q}_j \dot{q}_k + G_i; i = 1, 2, 3, \dots, n$$

จากสมการสัมประสิทธิ์  $I_{ij}, h_{ijk}, G_i$  ล้วนแต่เป็นตัวแปรที่ขึ้นอยู่กับรูปร่างของแขนกลที่ขณะใด ๆ ซึ่งการคำนวณหาค่าพจน์ต่าง ๆ ดังกล่าวนี้นี้ต้องใช้เวลามากถึง  $O(n^4)$  แต่ในที่นี้จะใช้วิธีของ Newton-Euler ซึ่งจะหาค่าของพจน์ต่าง ๆ ที่กล่าวมา ไม่ขึ้นกับรูปร่างของแขนกลที่ขณะใด ๆ โดยคำนวณแรงและแรงบิดจาก ไดนามิกส์ของแต่ละ link เทียบกับเฟรมของ link นั้น ๆ ซึ่งจะทำให้เวลาในการคำนวณลดลงได้ จนเป็น  $O(n)$  หรือแปรผันตรงกับจำนวน link ของแขนกล

ศูนย์วิทยทรัพยากร  
จุฬาลงกรณ์มหาวิทยาลัย

## Recursive computation of kinematic and dynamic equations



รูปที่ ข.5 แสดงการคำนวณสมการ Kinematic และ Dynamic ด้วยวิธี Recursive Computation

พิจารณารูป ต้องการให้แขนกลเคลื่อนที่ด้วย joint displacement  $q_i$ , joint velocity  $\dot{q}_i$ , joint acceleration  $\ddot{q}_i$  ซึ่งทำให้เราสามารถหาความเร็วเชิงเส้น  $v_{c_i}$ , ความเร็วเชิงมุม  $\omega_i$ , ความเร่งเชิงเส้น  $a_{c_i}$  และความเร่งเชิงมุม  $\dot{\omega}_i$  ของจุด centroid  $c_i$  ของแต่ละ link ได้

จากนั้นใช้ Newton-Euler Equation คำนวณหาค่า joint Torque ของแต่ละ joint โดยเริ่มจาก link สุดท้ายย้อนกลับไป link ศูนย์ ซึ่งขั้นตอนการคำนวณนี้จะใช้วิธีของ Luh-Walker-paul's Algorithm (Recursive Computation of Kinematic and Dynamic Equation)

เนื่องจากเรามี link อยู่ 2 ชนิด ฉะนั้นความเร็วและความเร่งของแต่ละ link ของแขนกล จึงขึ้นอยู่กับชนิดของ link และในที่นี้จะเขียนความเร็วและความเร่งของ link ไต ๆ เทียบกับ link นั้น ๆ

## Kinematic of the link

$${}^{i+1}\omega_{i+1} = R_i^{i+1} ({}^i\omega_i + b_0\dot{q}_i) \quad ; \text{ for Revolute joint}$$

$$= R_i^{i+1} {}^i\omega_i \quad ; \text{ for Prismatic joint}$$

$${}^{i+1}\dot{\omega}_{i+1} = R_i^{i+1} [({}^i\dot{\omega}_i + b_0\ddot{q}_{i+1} + {}^i\omega_i \times (b_0\dot{q}_{i+1}))] \quad ; \text{ for Revolute joint}$$

$$= R_i^{i+1} {}^i\dot{\omega}_i \quad ; \text{ for Prismatic joint}$$

$${}^{i+1}v_{i+1} = {}^{i+1}\omega_{i+1} \times (R_i^{i+1}r_{i,i+1}) + R_i^{i+1}v_{i,i+1} \quad ; \text{ for Revolute joint}$$

$$= R_i^{i+1} (b_0\dot{q}_{i+1} + {}^i v_i) + {}^{i+1}w_{i+1} \times R_i^{i+1}r_{i,i+1} \quad ; \text{ for Prismatic joint}$$

$${}^{i+1}A_{i+1} = {}^{i+1}\dot{\omega}_{i+1} \times (R_i^{i+1}r_{i,i+1}) + {}^{i+1}\omega_{i+1} \times ({}^{i+1}\omega_{i+1} \times R_i^{i+1}r_{i,i+1}) + R_i^{i+1}A_i \quad ; \text{ for Revolute joint}$$

$${}^{i+1}A_{i+1} = R_i^{i+1} (b_0\ddot{q}_{i+1} + {}^i A_i) + {}^{i+1}\dot{\omega}_{i+1} \times R_i^{i+1}r_{i,i+1} + 2{}^{i+1}\omega_{i+1} \times R_i^{i+1}b_0\dot{q}_{i+1} + {}^{i+1}\omega_{i+1} \times ({}^{i+1}\omega_{i+1} \times R_i^{i+1}r_{i,i+1}) \quad ; \text{ for Prismatic joint}$$

ศูนย์วิทยทรัพยากร  
จุฬาลงกรณ์มหาวิทยาลัย

## ประวัติผู้เขียน

นาย ไพรัช ตั้งพรประเสริฐ เกิดเมื่อวันที่ 11 มีนาคม พ.ศ. 2510 ที่อำเภอบ้านโป่ง จังหวัดราชบุรี สำเร็จการศึกษาปริญญาตรีวิศวกรรมศาสตรบัณฑิต ภาควิชาวิศวกรรมเครื่องกล จุฬาลงกรณ์มหาวิทยาลัย ในปีการศึกษา 2531 จากนั้นได้เข้าทำงานที่บริษัท คลอเกต ปาล์มโอ ลีฟ (ประเทศไทย) จำกัด เป็นเวลา 1 ปี จากนั้นได้ไปทำงานที่บริษัท เอ.เค.แพค แอนด์ แมชชีน เนอรี จำกัด เป็นเวลา 3 ปี จึงได้เข้าทำการศึกษาต่อในหลักสูตรวิศวกรรมศาสตรมหาบัณฑิต ภาควิชาวิศวกรรมเครื่องกล คณะวิศวกรรมศาสตร์ จุฬาลงกรณ์มหาวิทยาลัย ในปีพ.ศ.2536



ศูนย์วิทยทรัพยากร  
จุฬาลงกรณ์มหาวิทยาลัย